

V-41 乾燥過程におけるコンクリート内部の水分移動に及ぼす温度の影響

岩手大学 学生員 ○ 萩場 正和
 岩手大学 正員 藤原 忠司
 東北工業大学 正員 秋田 宏

1. まえがき

本研究では、乾燥過程におけるコンクリート中の水分移動に及ぼす温度の影響を実験的に明らかにし、さらに、本現象に非線形拡散方程式を適用して、解析値と実験値とを比較した。

2. 実験概要

供試体は $10 \times 10 \times 30\text{cm}$ の角柱とし、乾燥を一面($10 \times 10\text{cm}$)だけから許した。このコンクリートの含水率分布を割裂法⁽¹⁾によって測定した。乾燥は、打設後 28日間 水中養生してから恒温恒湿室で行い、相対湿度は 60% として、温度を $10, 20, 30^\circ\text{C}$ の3段階に設定した。セメントには普通ポルトランドセメントを用い、水セメント比は 52% としている。

3. 実験結果

乾燥 28日目において、温度の影響を比較したのが図-1である。高温であるほど全体的に相対含水率(式(1)参照)が低く水分移動が速やかであると考えられる。

4. 解析理論

①水分移動の基礎方程式

含水率分布をそのまま用いると、同じ飽水時でも供試体により差が生じて不便であるため、相対含水率 R を用いる。

$$R = \psi / \psi_s \times 100 (\%) \quad (1)$$

ここで、 ψ :含水率、 ψ_s :飽水時の含水率

コンクリート中の水分移動を拡散現象としてとらえ、気・液水分をまとめて扱い、圧力が一定の場合に限れば、拡散方向を1次元と考えた場合の基礎方程式は次のようになる。

$$\frac{\partial R}{\partial t} = \frac{\partial}{\partial x} \left(D \frac{\partial R}{\partial x} \right) \quad (2)$$

ここで、 t :時間(day)、 D :拡散係数(cm^2/day)、 x :乾燥面からの距離(cm)

飽水状態からの乾燥であるため、初期条件および境界条件を次のようにした

$$R(x) = 100 \quad (3)$$

$$\frac{\partial R}{\partial n} + \alpha_m (H_s - H_e) = 0 \quad (4)$$

ここで、 n :乾燥面の放線ベクトル、 α_m :水分伝達率($3.9\text{cm}/\text{day}$)、 H_s, H_e :乾燥表面および雰囲気の相対湿度

②平衡含水率

式(4)における水分伝達の項が、相対湿度で表わされているため、相対含水率と相対湿度の関係が必要である。この関係

は平衡含水率曲線として知られ、配合によって異なる。この実験の $W/C=52\%$ の場合を推定したのが、図-2の近似曲線である。

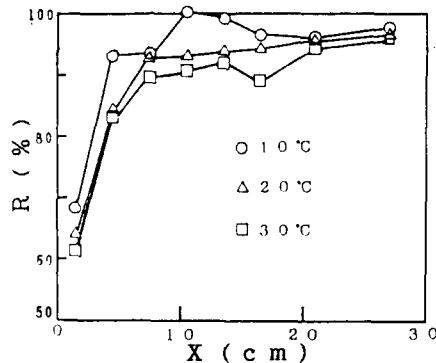


図-1 温度の影響(28日目)

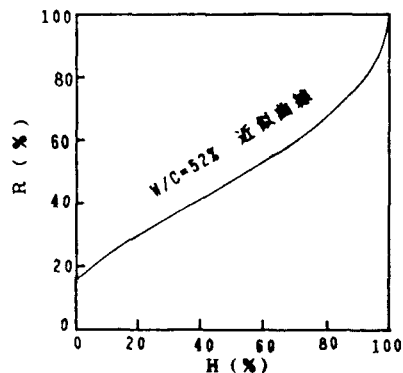


図-2 平衡含水率曲線

③拡散係数

式(5)に示すボルツマン変換を適用し、式(2)の拡散方程式から、任意の相対含水率(R_2)に対する拡散係数を求める式を導けば、式(6)のようになる。

$$\eta = x / 2\sqrt{t} \quad \dots \dots \dots \quad (5)$$

$$D_{R=R_2} = 2 \left(\frac{d \eta}{d R} \right)_{R=R_2} \cdot \int_{R_2}^{100} \eta \, dR \quad \dots \quad (6)$$

式(6)を計算するには、Rと α の関係が必要となる。20°Cの場合の関係は、図-3のようになり、実験値は次の近似曲線で表示できる。

$$R = 100 \left\{ 1 + f - a / (\eta + b)^2 \right\} \quad \dots \dots \quad (7)$$

ここで、 a, b, f は定数であり、 $R = 100\%$ となる ω を求める。

ちかく、霧氷の相対湿度に対応する $\kappa = 0$ での相対含水率、実験値と閏数値の差の 2 乗を最小にすることの 3 条件から定まる。これらの値は解析の対象とした温度 3 種類について表-1 のようになる。

表-1 係數等

温度	a	b	f	η_1	日数	D ₁	c
10°C	0.11	0.48	0.0091	3.0	25	3.7	17
20°C	0.24	0.71	0.0140	3.5	18	5.3	12
30°C	0.31	0.80	0.0130	4.0	14	7.1	12

20°Cにおいて、式(6)の計算結果をD:すなわち R=100%でのDに対する比で表わせば、図-4のようになり、次式で近似できる。

$$D/D_1 = 1 / \{c(1 - R/100) + 1\}^{1.4} \quad \dots \dots \quad (8)$$

ここで、c は定数であり、D₁ および最奥の点の相対含水率が 100% から下がり始める乾燥日数とともに表-1 に示してある。

④ 数值解析

数値解析はコントロールボリューム法により、時間積分を完全陰解法で、時間きざみを6分とした。20°Cにおいての計算結果は図-5であり、計算値は乾燥面付近で実験値よりも若干大きい傾向にあるが、全体として良く対応していることは、手法の妥当性を示しているものと考えられる。

⑤ 温度の影響

表-1に示したD₁と温度との関係を示したのが図-6で

ある。温度によるD₁の違いは比較的大きく、温度が水分移動に大きく関わると言える。

〔参考文献〕(1) 秋田宏・藤原忠司・尾坂芳夫: モルタルの乾燥・吸湿・吸水過程における水分移動, 玉木学会論文集, 第420号, 1990.8 PP.61~69

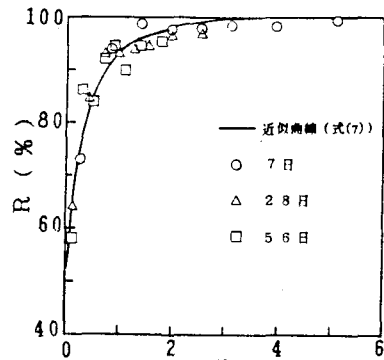


図-3 R- η 関係(20°C)

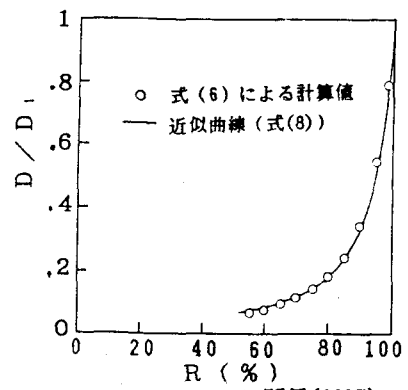


図-4 D-R関係(20°C)

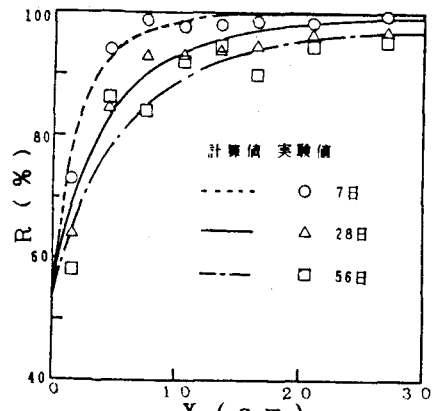


图-5 相对含水率分布(20°C)